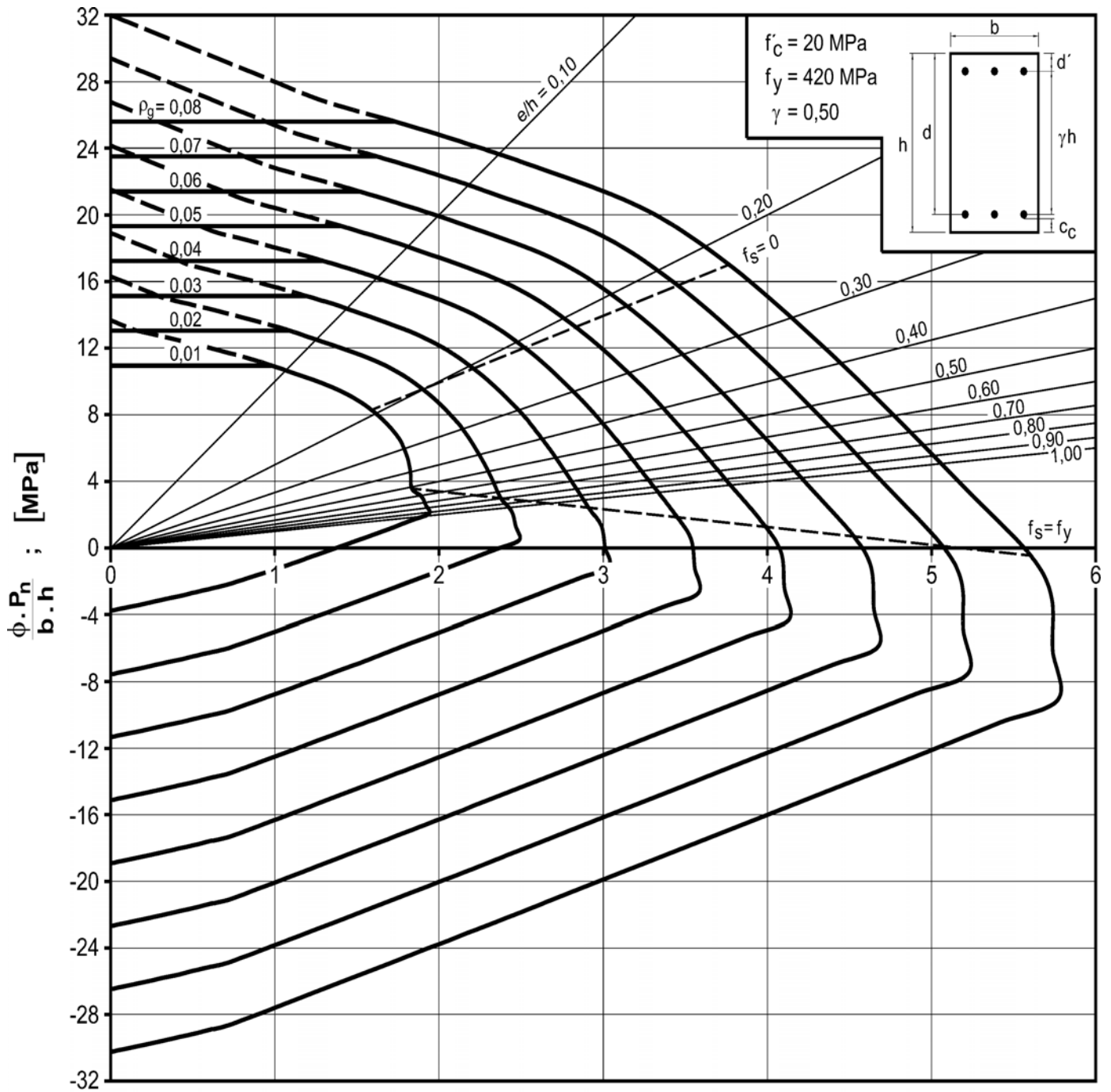


DIAGRAMA DE INTERACCIÓN

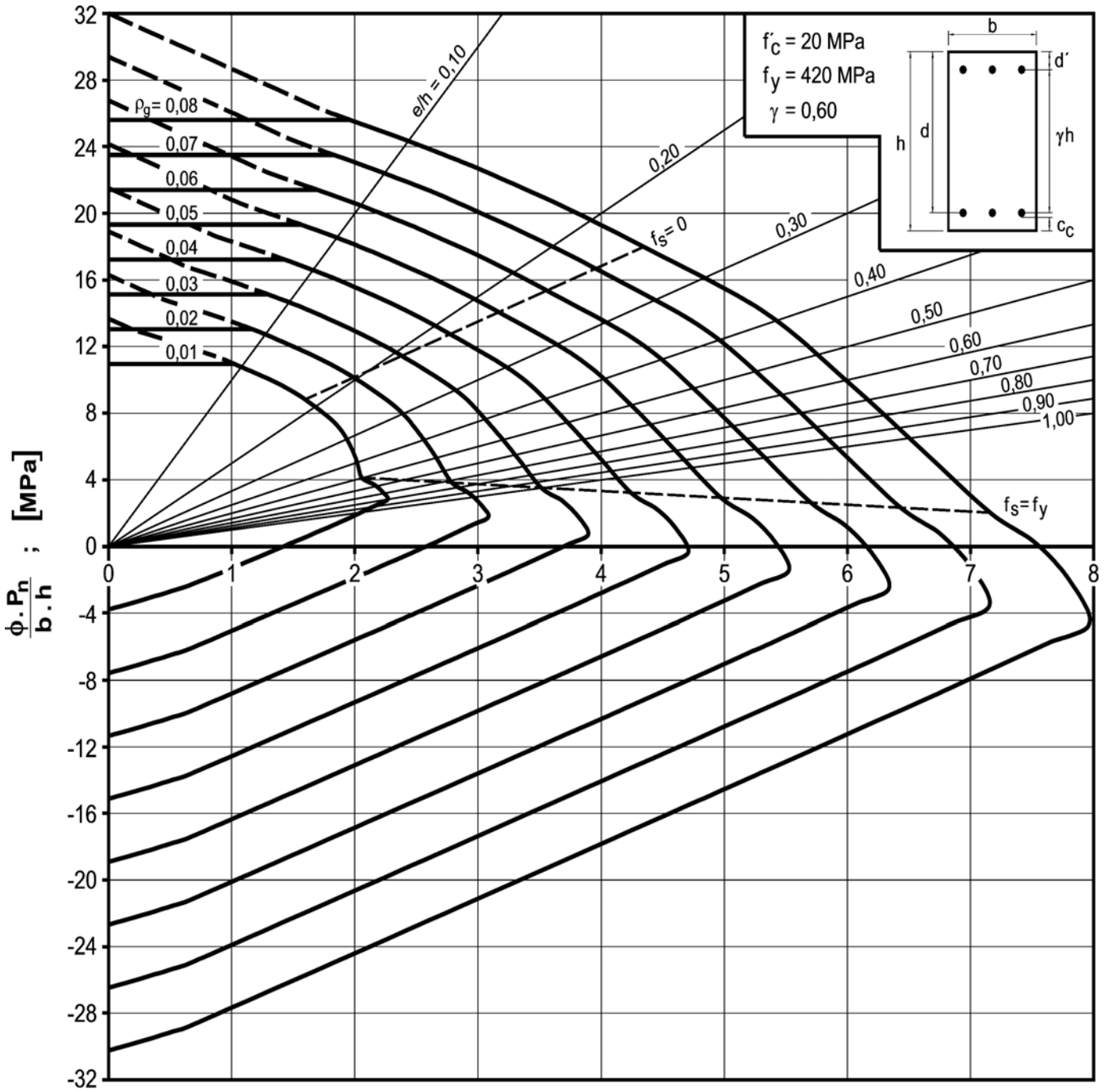


$$\frac{\phi \cdot P_n}{A_g} \cdot \frac{e}{h} = \frac{\phi \cdot M_n}{b \cdot h^2} ; \text{ [MPa]}$$

DIAGRAMA I.1

Diagrama de interacción de la resistencia de secciones rectangulares con barras en las caras extremas. $f'_c = 20 \text{ MPa}$ y $\gamma = 0,50$.

DIAGRAMA DE INTERACCIÓN

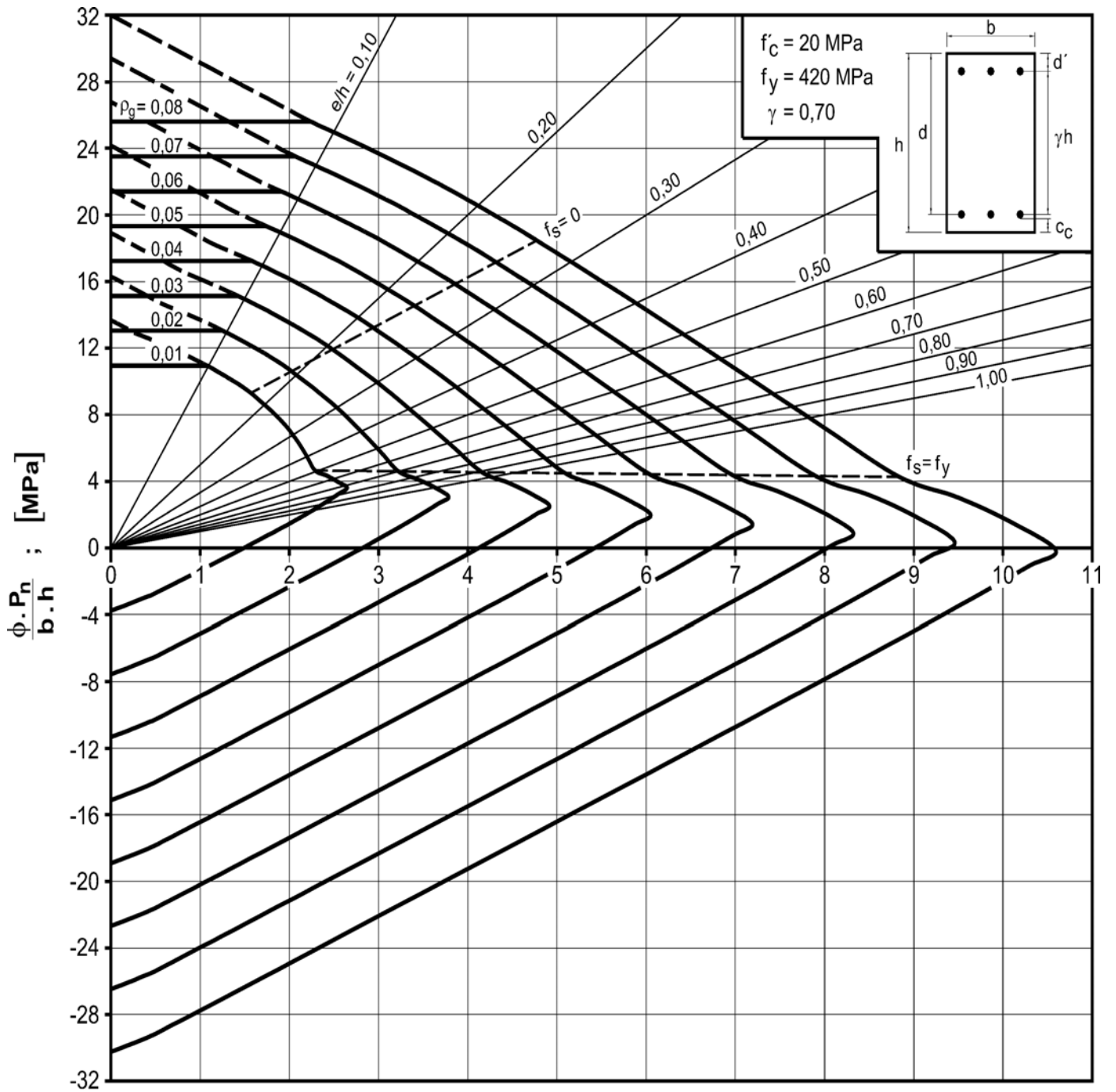


$$\frac{\phi \cdot P_n \cdot e}{A_g \cdot h} = \frac{\phi \cdot M_n}{b \cdot h^2} ; [\text{MPa}]$$

DIAGRAMA I.2

Diagrama de interacción de la resistencia de secciones rectangulares con barras en las caras extremas. $f'_c = 20$ MPa y $\gamma = 0,60$.

DIAGRAMA DE INTERACCIÓN



$$\frac{\phi \cdot P_n}{A_g} \cdot \frac{e}{h} = \frac{\phi \cdot M_n}{b \cdot h^2} ; \text{ [MPa]}$$

DIAGRAMA I.3

Diagrama de interacción de la resistencia de secciones rectangulares con barras en las caras extremas. $f'_c = 20$ MPa y $\gamma = 0,70$.

DIAGRAMA DE INTERACCIÓN

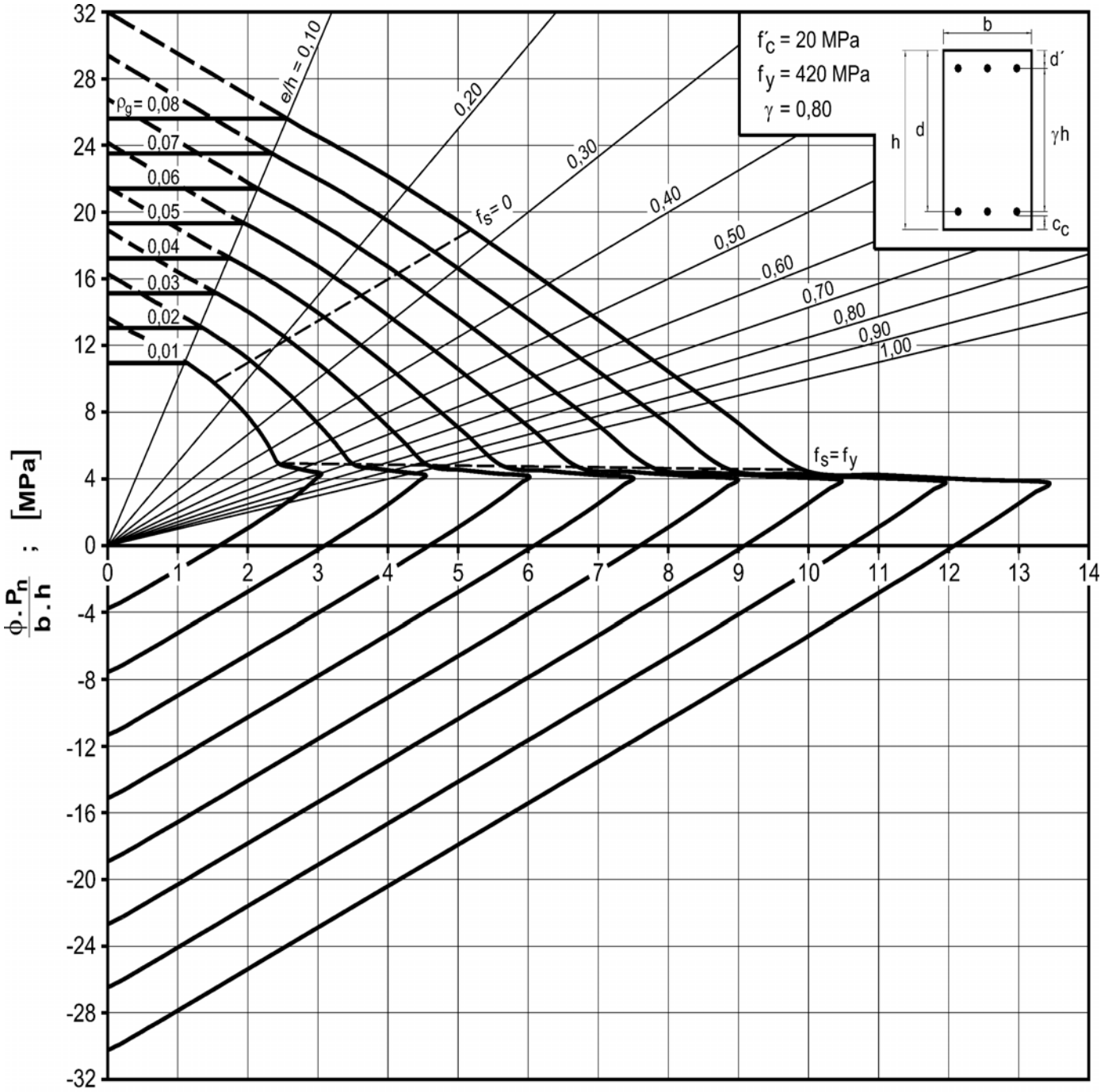
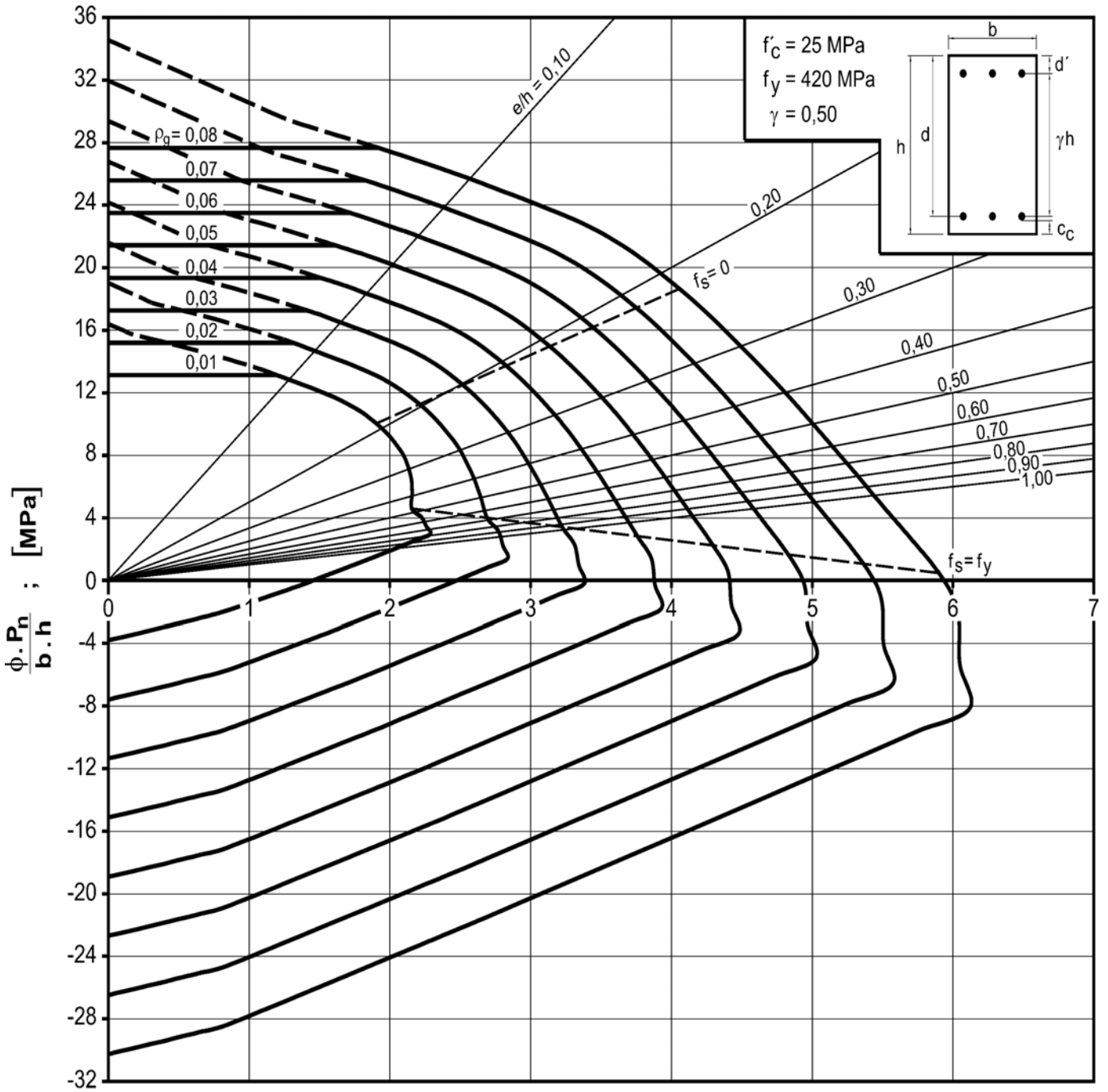


DIAGRAMA I.4

Diagrama de interacción de la resistencia de secciones rectangulares con barras en las caras extremas. $f'_c = 20 \text{ MPa}$ y $\gamma = 0,80$.

DIAGRAMA DE INTERACCIÓN

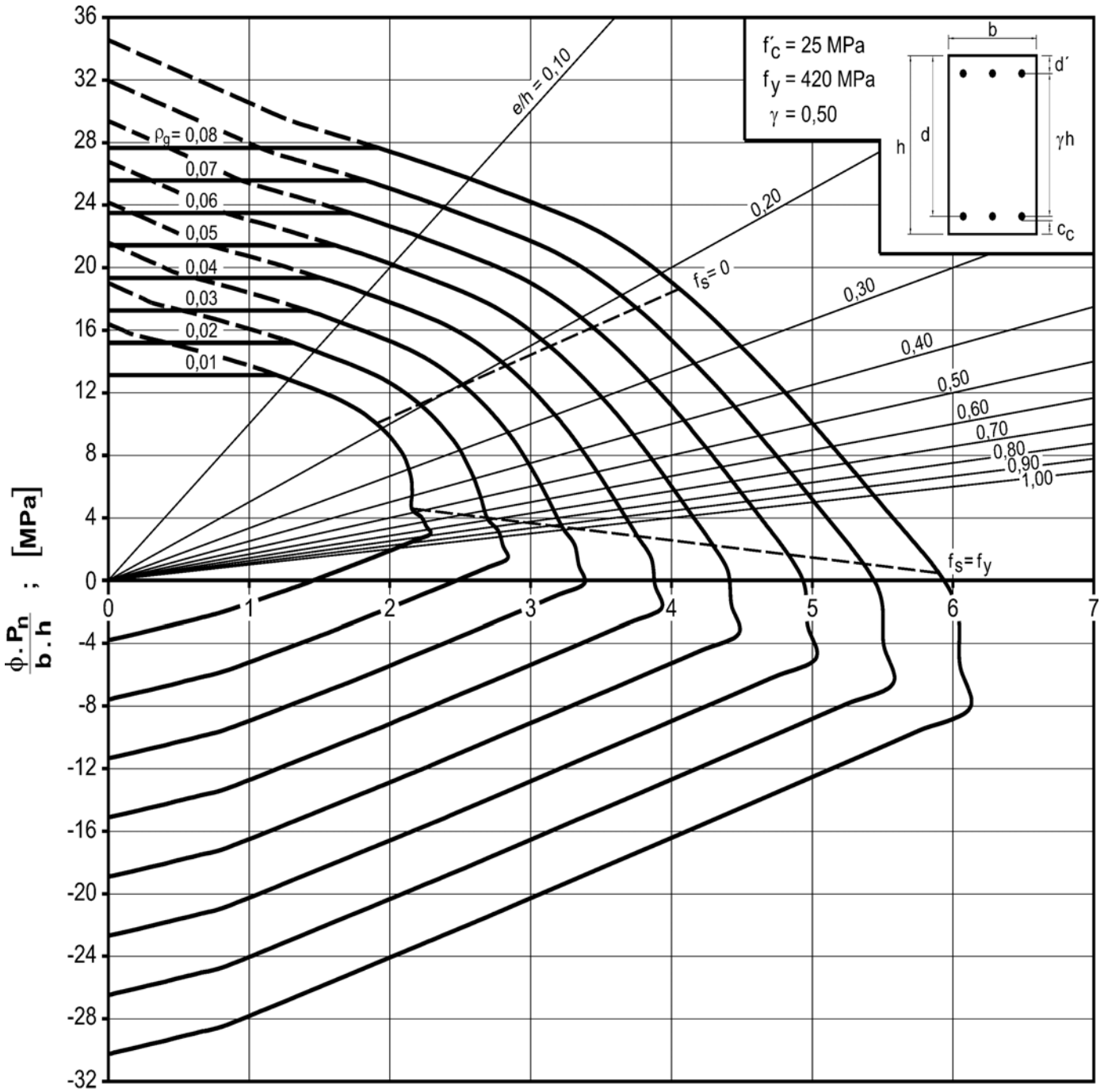


$$\frac{\phi \cdot P_n \cdot e}{A_g} = \frac{\phi \cdot M_n}{b \cdot h^2} ; \text{ [MPa]}$$

DIAGRAMA I.6

Diagrama de interacción de la resistencia de secciones rectangulares con barras en las caras extremas. $f'_c = 25$ MPa y $\gamma = 0,50$.

DIAGRAMA DE INTERACCIÓN

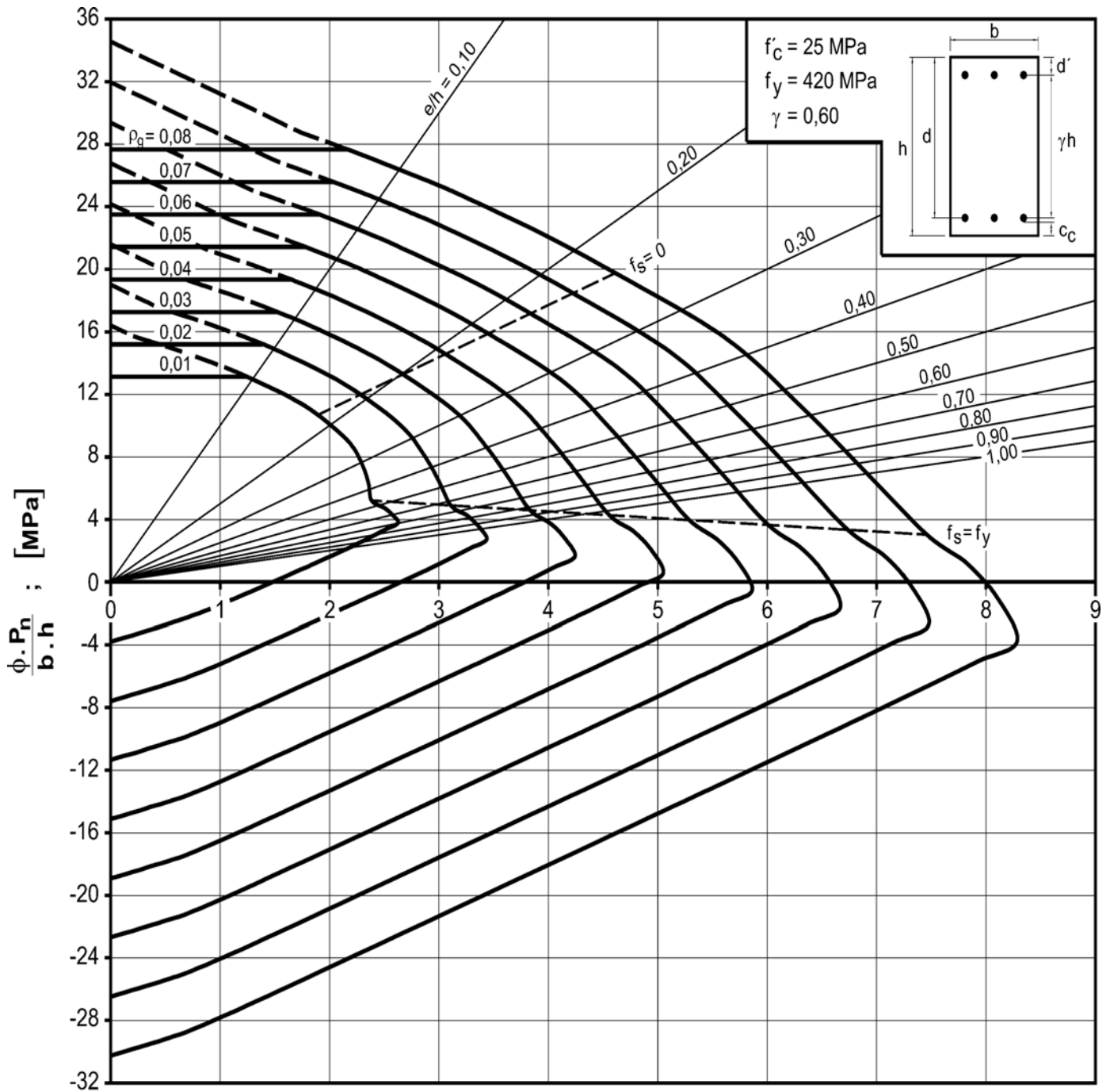


$$\frac{\phi \cdot P_n \cdot e}{A_g} = \frac{\phi \cdot M_n}{b \cdot h^2} ; \text{ [MPa]}$$

DIAGRAMA I.6

Diagrama de interacción de la resistencia de secciones rectangulares con barras en las caras extremas. $f'_c = 25 \text{ MPa}$ y $\gamma = 0,50$.

DIAGRAMA DE INTERACCIÓN



$$\frac{\phi \cdot P_n}{A_g} \cdot \frac{e}{h} = \frac{\phi \cdot M_n}{b \cdot h^2} ; [\text{MPa}]$$

DIAGRAMA I.7

Diagrama de interacción de la resistencia de secciones rectangulares con barras en las caras extremas. $f'_c = 25 \text{ MPa}$ y $\gamma = 0,60$.

DIAGRAMA DE INTERACCIÓN

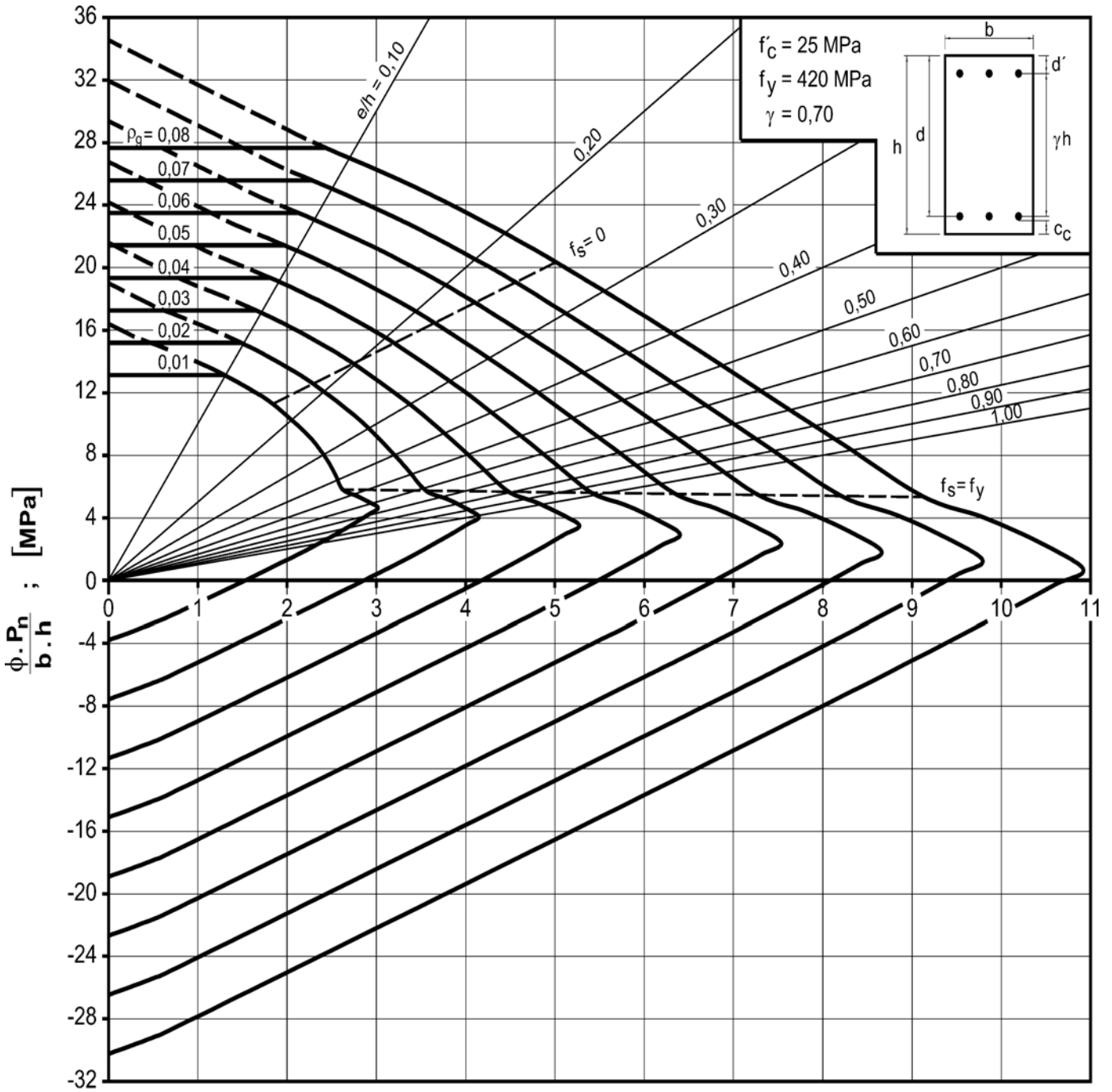
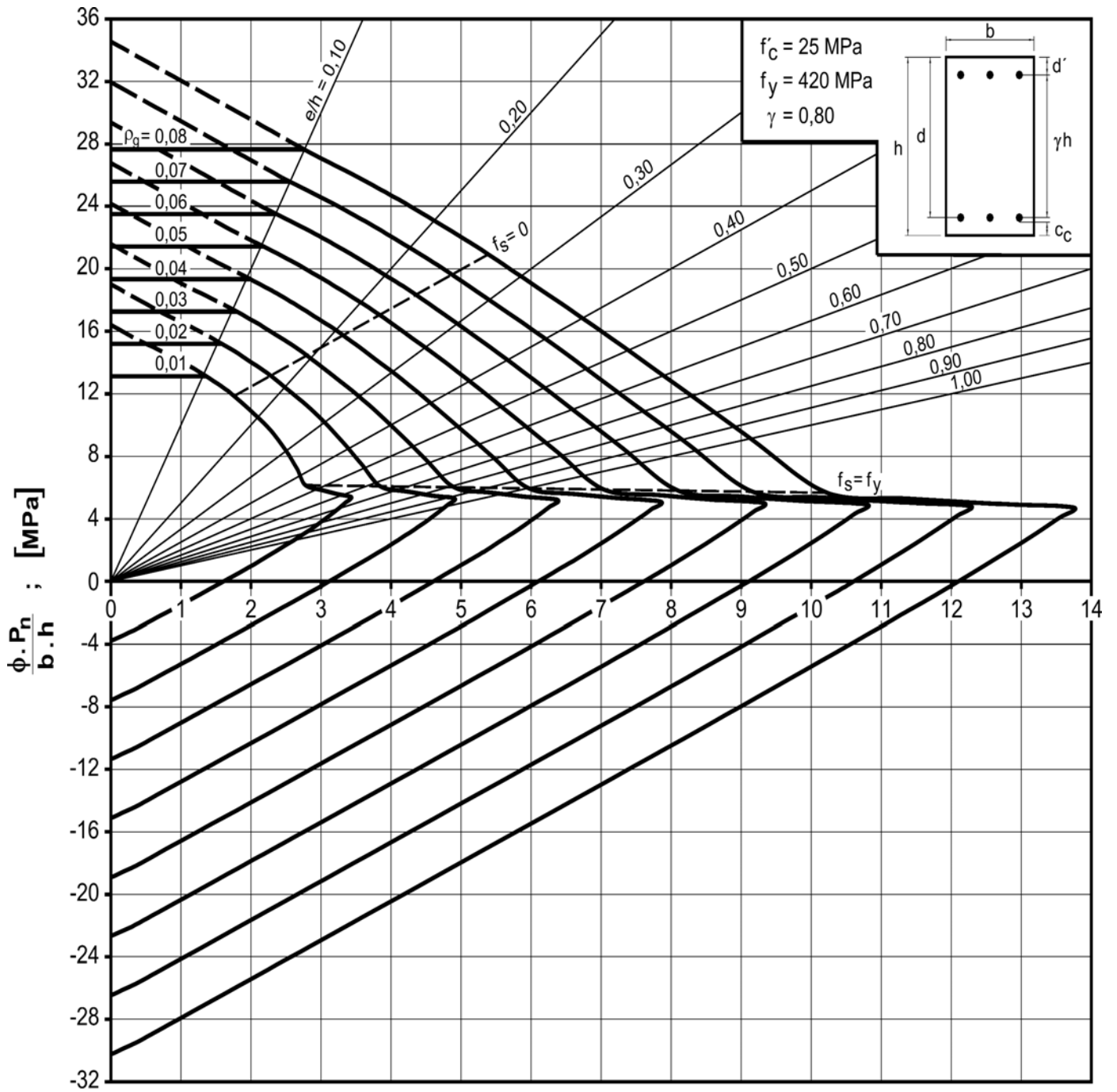


DIAGRAMA I.8

Diagrama de interacción de la resistencia de secciones rectangulares con barras en las caras extremas. $f'_c = 25 \text{ MPa}$ y $\gamma = 0,70$.

DIAGRAMA DE INTERACCIÓN



$$\frac{\phi \cdot P_n}{A_g} \cdot \frac{e}{h} = \frac{\phi \cdot M_n}{b \cdot h^2} ; \text{ [MPa]}$$

DIAGRAMA I.9

Diagrama de interacción de la resistencia de secciones rectangulares con barras en las caras extremas. $f'_c = 25 \text{ MPa}$ y $\gamma = 0,80$.

DIAGRAMA DE INTERACCIÓN

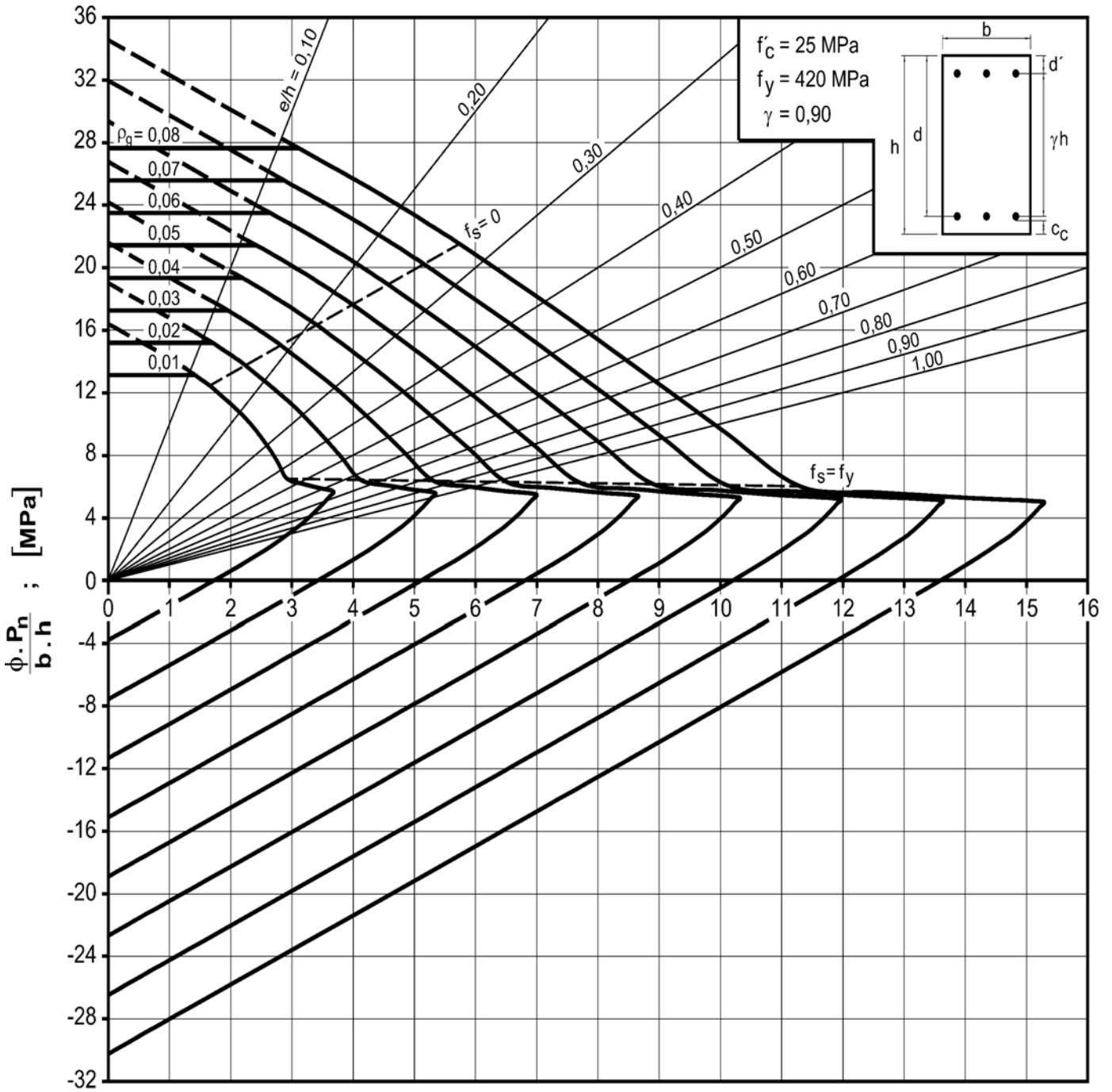
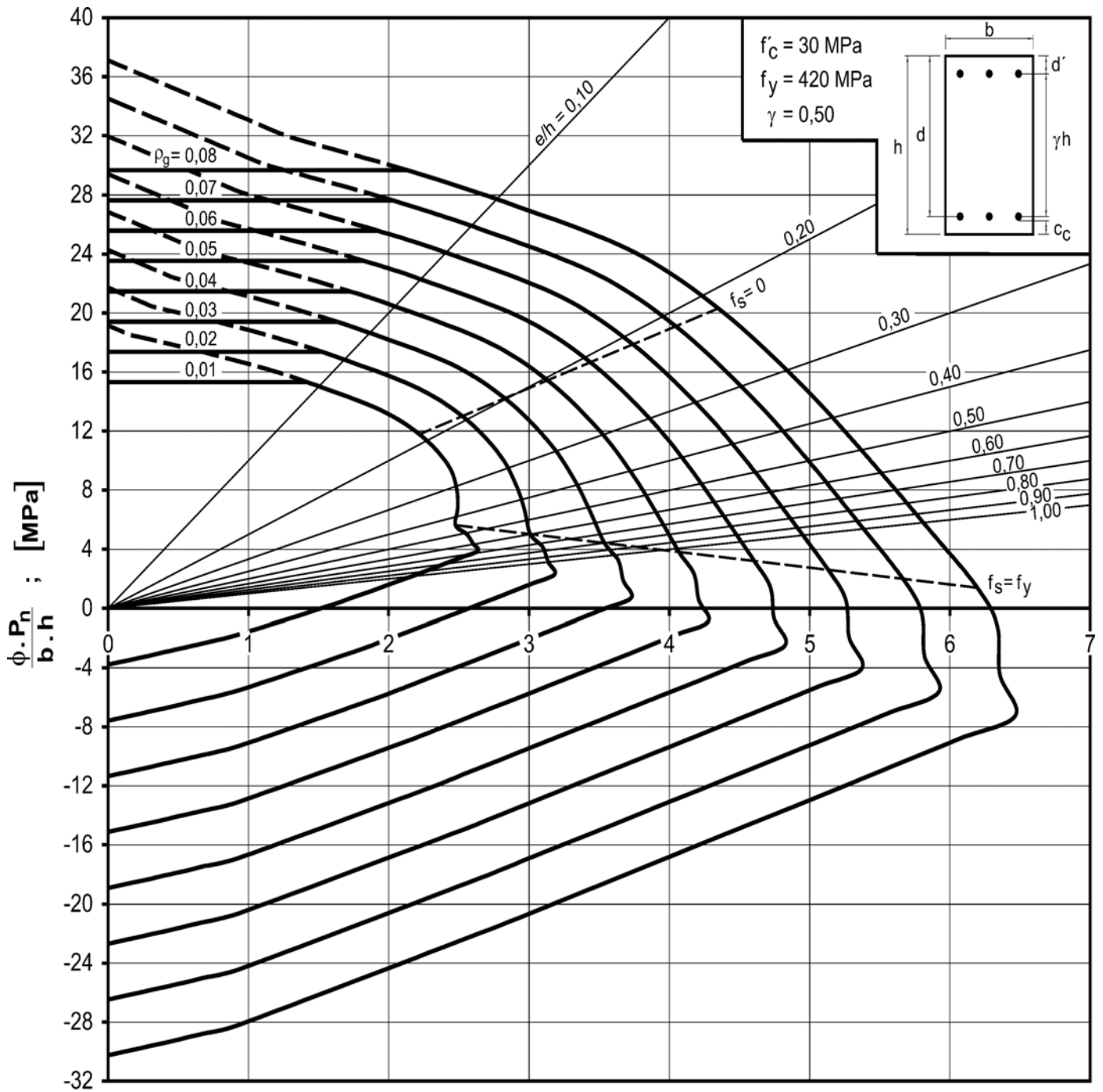


DIAGRAMA I.10

Diagrama de interacción de la resistencia de secciones rectangulares con barras en las caras extremas. $f'_c = 25 \text{ MPa}$ y $\gamma = 0,90$.

DIAGRAMA DE INTERACCIÓN



$$\frac{\phi \cdot P_n}{A_g} \cdot \frac{e}{h} = \frac{\phi \cdot M_n}{b \cdot h^2} ; \text{ [MPa]}$$

DIAGRAMA I.11

Diagrama de interacción de la resistencia de secciones rectangulares con barras en las caras extremas. $f'_c = 30$ MPa y $\gamma = 0,50$.

DIAGRAMA DE INTERACCIÓN

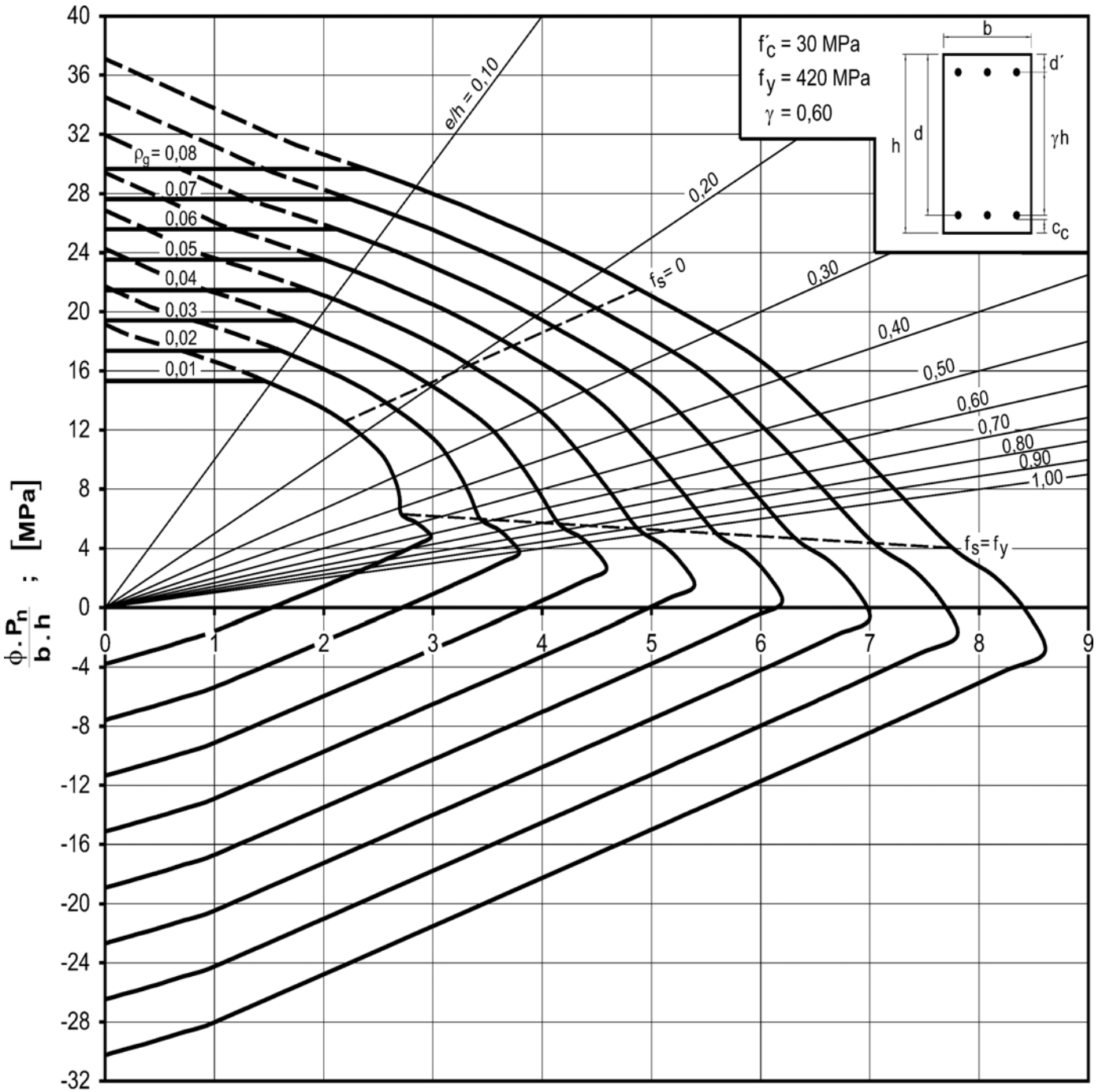
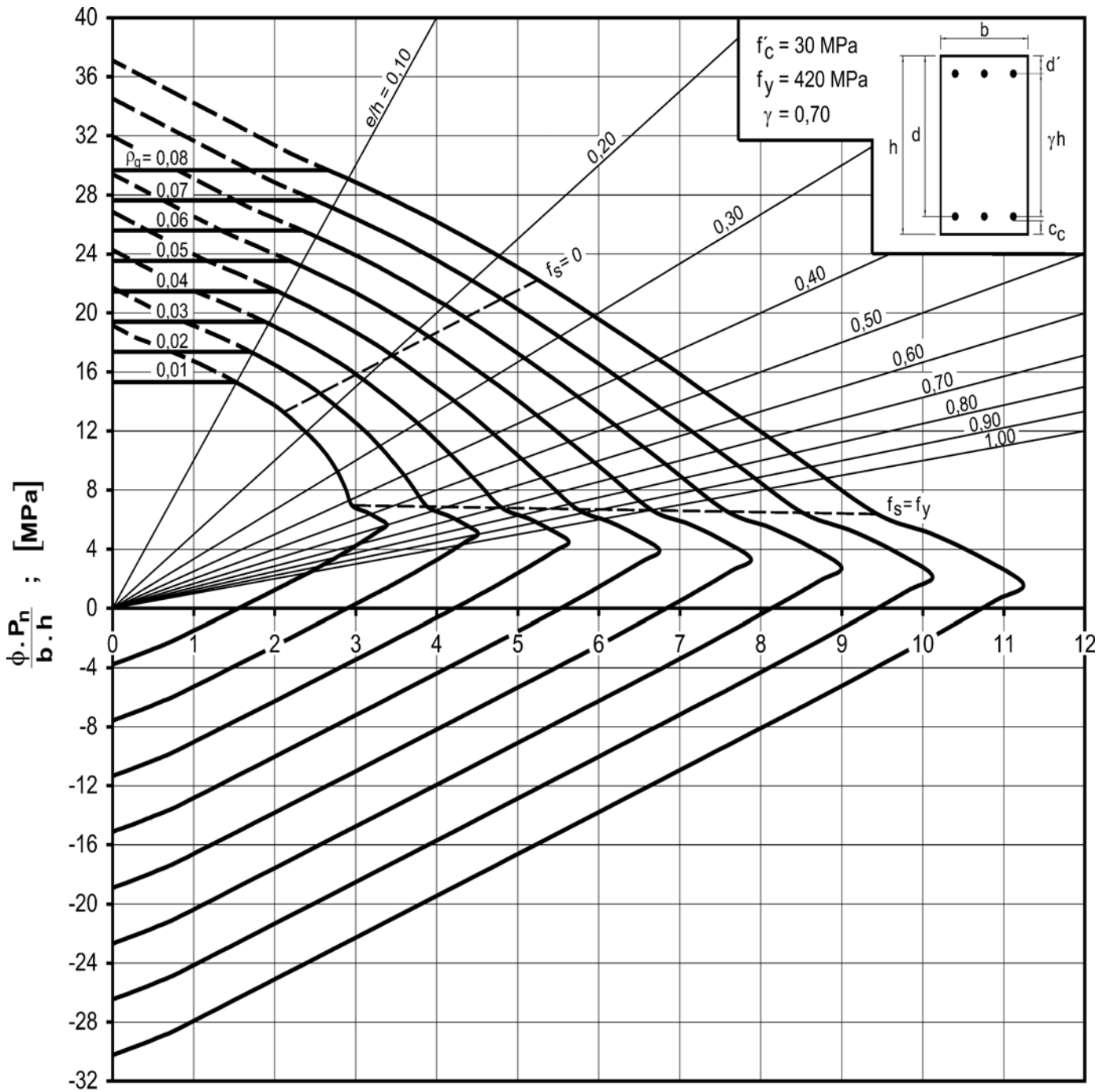


DIAGRAMA I.12

Diagrama de interacción de la resistencia de secciones rectangulares con barras en las caras extremas. $f'_c = 30 \text{ MPa}$ y $\gamma = 0,60$.

DIAGRAMA DE INTERACCIÓN

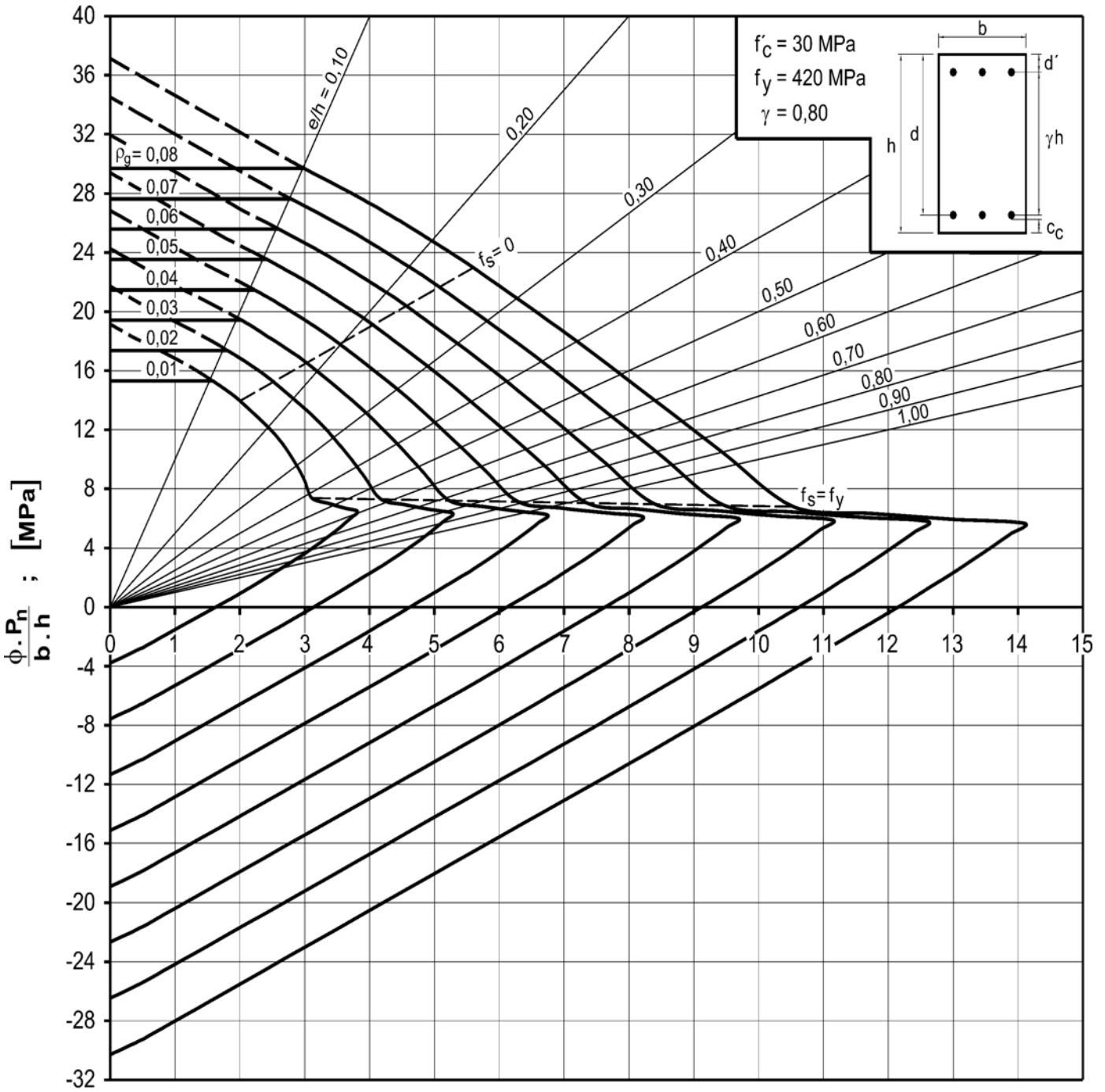


$$\frac{\phi \cdot P_n}{A_g} \cdot \frac{e}{h} = \frac{\phi \cdot M_n}{b \cdot h^2} ; [\text{MPa}]$$

DIAGRAMA I.13

Diagrama de interacción de la resistencia de secciones rectangulares con barras en las caras extremas. $f'_c = 30 \text{ MPa}$ y $\gamma = 0,70$.

DIAGRAMA DE INTERACCIÓN

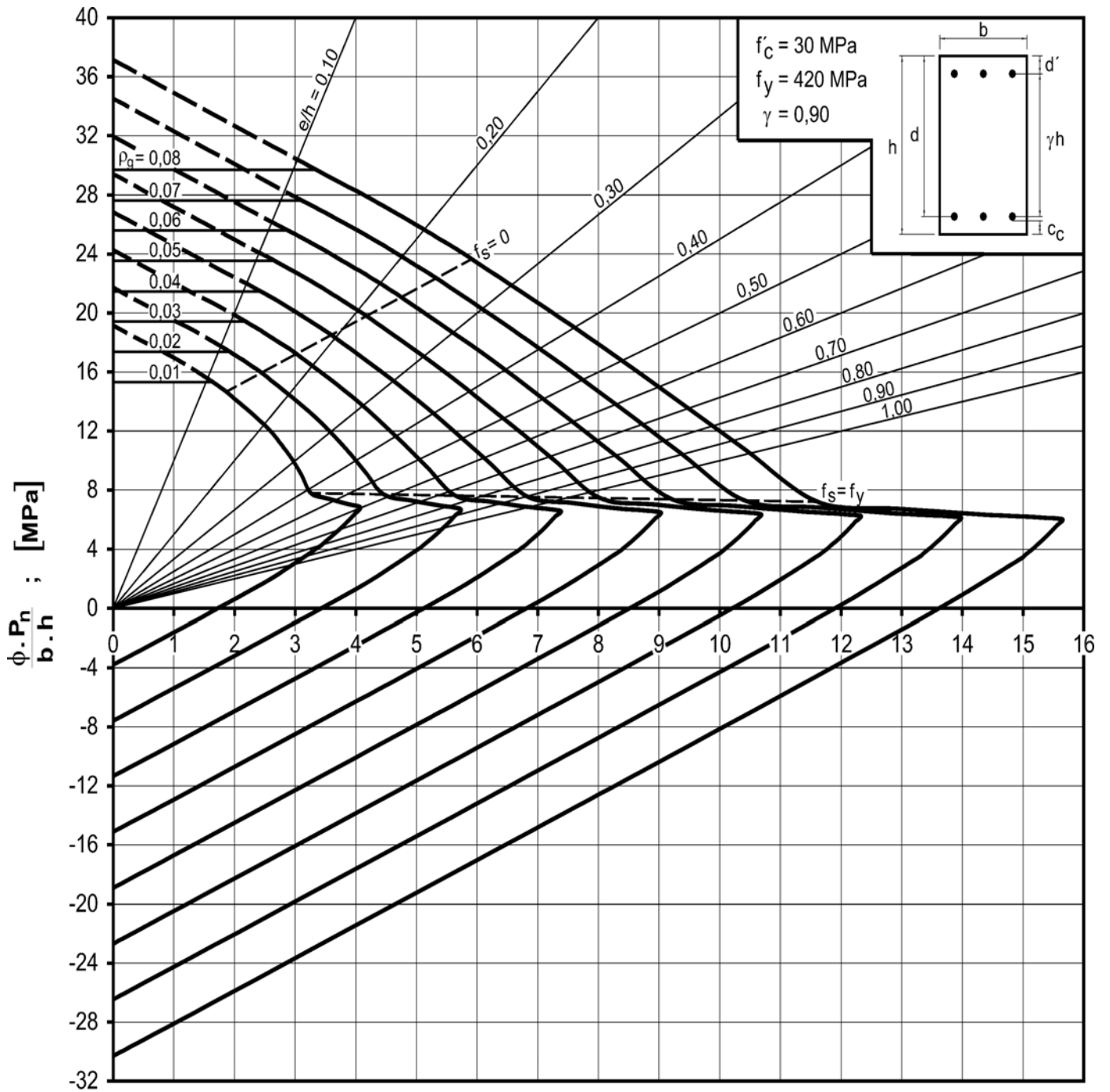


$$\frac{\phi \cdot P_n \cdot e}{A_g \cdot h} = \frac{\phi \cdot M_n}{b \cdot h^2} ; \text{ [MPa]}$$

DIAGRAMA I.14

Diagrama de interacción de la resistencia de secciones rectangulares con barras en las caras extremas. $f'_c = 30 \text{ MPa}$ y $\gamma = 0,80$.

DIAGRAMA DE INTERACCIÓN



$$\frac{\phi \cdot P_n \cdot e}{A_g \cdot h} = \frac{\phi \cdot M_n}{b \cdot h^2} ; \text{ [MPa]}$$

DIAGRAMA I.15

Diagrama de interacción de la resistencia de secciones rectangulares con barras en las caras extremas. $f'_c = 30$ MPa y $\gamma = 0,90$.